

УДК 546.97'32'36'57:541.486-163.2

КРИСТАЛЛИЧЕСКАЯ СТРУКТУРА СОЛЕЙ АНИОНА *транс*-[Rh(NH₃)₂(NO₂)₄]⁻ С КАТИОНАМИ K⁺, Cs⁺, Ag⁺ И (CH₃)₄N⁺

А.В. Беляев, А.И. Смоленцев, И.А. Байдина, С.В. Ткачев

Институт неорганической химии им. А.В. Николаева СО РАН, Новосибирск

E-mail: baidina@niic.nsc.ru

Статья поступила 15 ноября 2012 г.

С доработки — 28 декабря 2012 г.

Получены и охарактеризованы комплексные соли родия(III) состава *транс*-M[Rh(NH₃)₂(NO₂)₄], где M = K⁺, Cs⁺, Ag⁺ и N(CH₃)₄⁺. Молекулярная и кристаллическая структуры определены методом РСА.

Ключевые слова: родий, *транс*-диамминтетранитриты, соли, кристаллическая структура, ЯМР^{14,15}N.

Структурные исследования амминонитритных комплексов родия(III) проводятся с целью изучения стереохимии этих соединений. Они привлекали внимание исследователей в связи с возможностью получения соединений, содержащих координированные молекулы азота [1]. Синтез и кристаллическая структура калиевой соли *цикло*-диамминтетранитро-родиата описаны в [2, 3], данные по *цикло*-изомерам солей Cs⁺, Ag⁺ и N(CH₃)₄⁺ приведены в [4]. Информация о синтезе солей аниона *транс*-диамминтетранитро-родиата и их структурах в литературе отсутствует.

Целью работы было получение солей аниона *транс*-[Rh(NH₃)₂(NO₂)₄]⁻ с катионами калия, цезия, серебра и тетраметиламмония, установление их кристаллических структур и влияния на них природы внешнесферного катиона.

ЭКСПЕРИМЕНТАЛЬНАЯ ЧАСТЬ

Для получения *транс*-K[Rh(NH₃)₂(NO₂)₄] (**I**) 0,580 г *цикло*-K[Rh(NH₃)₂(NO₂)₄]⁻·0,5H₂O, полученного по методике, изложенной в [3], дегидратировали в течение 1 ч при 160 °C, далее твердую фазу выдерживали при 200—210 °C 3 ч для термической изомеризации, после чего перекристаллизовывали из кипящей воды. Отдельные образцы калиевых солей *цикло*- и *транс*-K[Rh(NH₃)₂(NO₂)₄] были приготовлены с использованием растворов амиака, обогащенных по ¹⁵N до 96,7 %. Выход близок к количественному. Химический анализ соединения: вычислено для K[Rh(NH₃)₂(NO₂)₄], %: N 23,33, H 1,67; найдено, %: N 23,5, H 1,7. ИК спектр, см⁻¹: ν(N—H) две компоненты 3338÷3237, δ(N—H) 1641, ν(N—O) три компоненты 1418÷1276, δ(N—O) 618÷608, ρ(—NO₂) 828, ν(Rh—NH₃) 494, 537.

Для получения солей цезия, серебра и тетраметиламмония к насыщенному при комнатной температуре водному раствору соединения **I** по каплям добавляли концентрированные растворы нитратов цезия, серебра или тетраметиламмония до начала помутнения, после чего оставляли на сутки для кристаллизации. Белые кристаллические осадки *транс*-Cs[Rh(NH₃)₂(NO₂)₄] (**II**), *транс*-Ag[Rh(NH₃)₂(NO₂)₄]·2H₂O (**III**) и *транс*-(CH₃)₄N[Rh(NH₃)₂(NO₂)₄] (**IV**) отфильтровывали,

Таблица 1

Кристаллографические данные и условия дифракционного эксперимента для соединений I, II, III, IV

Комплекс	K[Rh(NH ₃) ₂ (NO ₂) ₄] (I)	Cs[Rh(NH ₃) ₂ (NO ₂) ₄] (II)	Ag[Rh(NH ₃) ₂ (NO ₂) ₄] · 2H ₂ O (III)	(Me ₄ N)][Rh(NH ₃) ₂ (NO ₂) ₄] (IV)
Стехиометрическая формула	H ₆ KN ₆ O ₈ Rh	H ₆ CsN ₆ O ₈ Rh	H ₁₀ AgN ₆ O ₁₀ Rh	C ₄ H ₁₈ N ₇ O ₈ Rh
Молекулярный вес	360,12	453,93	464,92	394,9
Сингония	Ромбическая	Ромбическая	Триклинная	Моноклинная
Простр. группа	P2 ₁ 2 ₁ 2 ₁	P2 ₁ 2 ₁ 2 ₁	P-1	P2/c
Параметры элементарной ячейки <i>a</i> , <i>b</i> , <i>c</i> , Å; α , β , γ , град.	6,7141(3), 11,5418(5), 13,0025(5)	6,9421(3), 11,6454(5), 13,4178(6)	6,9639(3), 7,1630(3), 13,0843(7); 94,802(1), 98,770(2), 112,607(1)	6,2769(1), 6,2903(2), 18,5686(5); 92,711(1)
<i>V</i> , Å ³	1007,60(7)	1084,74(8)	588,19(5)	732,33(3)
<i>Z</i>	4	4	2	1
<i>d</i> _{выч.} , г/см ³	2,374	2,780	2,625	1,792
Коэф. поглощ., мм ⁻¹	2,152	4,923	3,128	1,214
<i>F</i> (000)	704	848	448	400
Размер кристалла, мм	0,40×0,30×0,25	0,30×0,10×0,10	0,20×0,15×0,15	0,24×0,20×0,08
Диапазон θ , град.	от 2,36 до 30,13	от 3,30 до 30,07	от 3,12 до 30,07	от 3,24 до 30,01
Число измер. / независ. рефлексов	9149 / 2962 [<i>R</i> (int) = 0,0250]	9873 / 3167 [<i>R</i> (int) = 0,0262]	5757 / 3418 [<i>R</i> (int) = 0,0239]	7010 / 2125 [<i>R</i> (int) = 0,0264]
Полнота сбора данных по $\theta = 25,0^\circ$, %	99,6	99,8	99,3	98,8
Макс. и мин. пропускание	0,6152 и 0,4798	0,6388 и 0,3198	0,6512 и 0,5735	0,9091 и 0,7594
Метод уточнения	Полноматричный МНК по <i>F</i> ²			
Число рефлексов /ogr. / параметров	2962 / 0 / 148	3167 / 0 / 149	3418 / 6 / 193	2125 / 0 / 96
<i>S</i> -фактор по <i>F</i> ²	0,996	1,028	1,060	1,161
<i>R</i> -фактор [<i>I</i> > 2σ(<i>I</i>)]	<i>R</i> 1 = 0,0153, <i>wR</i> 2 = 0,0394	<i>R</i> 1 = 0,0136, <i>wR</i> 2 = 0,0324	<i>R</i> 1 = 0,0196, <i>wR</i> 2 = 0,0518	<i>R</i> 1 = 0,0241, <i>wR</i> 2 = 0,0550
<i>R</i> -фактор (все данные)	<i>R</i> 1 = 0,0156, <i>wR</i> 2 = 0,0395	<i>R</i> 1 = 0,0144, <i>wR</i> 2 = 0,0326	<i>R</i> 1 = 0,0212, <i>wR</i> 2 = 0,0525	<i>R</i> 1 = 0,0296, <i>wR</i> 2 = 0,0570
Макс. и мин. остат. эл. плотн., е/Å ³	0,444 и -0,396	0,496 и -0,492	0,766 и -0,823	0,431 и -0,402

промывали дважды водой, затем этанолом и высушивали на воздухе. Поскольку серебряная соль светочувствительна, ее высушивали и хранили, применяя защиту от лабораторного освещения.

ИК спектры регистрировали на ИК Фурье-спектрометре SCIMITAR FTS 2000 в таблетках KBr в интервале волновых чисел 400—4000 см⁻¹.

Спектры ЯМР ¹⁴N и ¹⁵N записывали на спектрометре AVANCE-500 Bruker на частотах 36,14 и 50,69 МГц соответственно при 298 К. Химические сдвиги (ХС) в шкале δ (м.д.) измеряли для азота от линии NO₃⁻ во внешнем эталоне (насыщенном водном растворе NH₄NO₃). При регистрации спектров ¹⁴N применяли 90° импульс с периодом повторения 0,5 с.

Таблица 2

Основные геометрические характеристики соединений I, II, III и IV

<i>d</i> , Å, ω , град.	K[Rh(NH ₃) ₂ (NO ₂) ₄] (I)	Cs[Rh(NH ₃) ₂ (NO ₂) ₄] (II)	Ag[Rh(NH ₃) ₂ (NO ₂) ₄] · 2H ₂ O (III)	(Me ₄ N)[[Rh(NH ₃) ₂ (NO ₂) ₄] (IV)
Rh—N(NO ₂)	⟨2,038⟩	⟨2,0379⟩	⟨2,0387⟩	⟨2,040⟩
Rh—N(NH ₃)	⟨2,058⟩	⟨2,066⟩	⟨2,0682⟩	⟨2,064⟩
N—O	⟨1,225⟩	⟨1,227⟩	⟨1,228⟩	⟨1,230⟩
O—N—O	⟨118,8⟩	⟨119,3⟩	⟨118,4⟩	⟨118,5⟩
M—O; КЧ	2,807—3,166; 10	3,088—3,419; 10	2,453—2,703; 8	
M...M (min)	4,279	4,638	6,964	
Rh...M		4,973—6,576	4,973—6,189	
Rh...Rh (min)	6,714	6,923	6,542	6,277

Рентгенофазовый анализ образцов проведен на дифрактометре ДРОН-3М (CuK_α-излучение, Ni-фильтр, комнатная температура). Дифрактограммы были проиндексированы по теоретическим дифрактограммам соответствующих монокристаллов.

Исследование монокристаллов проведено на автоматическом дифрактометре X8 APEX BRUKER (MoK_α-излучение, графитовый монохроматор, CCD-детектор). Кристаллографические характеристики, параметры эксперимента и уточнения структуры приведены в табл. 1. Все расчеты проведены по комплексу программ SHELX-97 [5]. Структуры решены прямым методом и уточнены в анизотропно-изотропном (для H) приближении, атомы водорода локализованы и уточнены с фиксированными значениями связей N—H. Координаты и тепловые параметры атомов в кристаллических структурах соединений I, II и III депонированы в банк данных неорганических структур ICSD под номерами CSD № 425274, № 425276 и № 425275 соответственно. Полные кристаллоструктурные данные для соединения IV депонированы в Кембриджском банке структурных данных под номером CCDC № 906377. Средние значения основных геометрических характеристик для изученных соединений приведены в табл. 2.

ОПИСАНИЕ КРИСТАЛЛИЧЕСКИХ СТРУКТУР И ВЫВОДЫ

Соли транс-K[Rh(NH₃)₂(NO₂)₄] (I) и транс-Cs[Rh(NH₃)₂(NO₂)₄] (II) изоструктурны; они кристаллизуются в ромбической сингонии в нецентросимметричной пространственной группе *P*2₁2₁2₁ и имеют близкие параметры элементарных ячеек. Аналогичные соли *цис*-изомеров неизоструктурны: в состав соли K входит 0,5 молекул кристаллизационной воды. Основу кристаллических структур *транс*-солей составляют комплексные анионы [Rh(NO₂)₄(NH₃)₂][−] и катионы K⁺ (для I) и Cs⁺ (для II). Атом Rh координирует две NH₃-группы, находящиеся в *транс*-положении, четыре атома азота NO₂[−]-групп расположены в экваториальной плоскости; в итоге координационный полигон Rh — слабо искаженный октаэдр [RhN₆], являющийся *транс*-изомером (рис. 1). Валентные углы N—Rh—N отличаются от идеальных 90° не более чем на 2,4°. Средние значения расстояний Rh—N_{NO₂} в обоих соединениях одинаковы и равны 2,038 Å. Длины связей Rh—N_{NH₃} несколько больше, их средние значения составляют 2,058 (I) и 2,066 Å (II). В нитрогруппах комплексных анионов длины связей N—O лежат в пределах 1,207—1,244 (средн. 1,226) Å, среднее значение валентных углов O—N—O составляет 119°. Плоскости нитрогрупп N(1) и N(2) образуют с экваториальной плоскостью комплексного аниона (N₄) углы, близкие к 90°, а две другие нитрогруппы N(3) и N(4) образуют углы, близкие к 45°. Внутримолекулярные расстояния H...O в комплексном анионе имеют оценки 2,25—2,66 Å. В структурах солей десять ближайших расстояний между центрами комплексных анионов Rh...Rh лежат в узком интервале 6,714—7,09 (для I) и 6,923—7,130 Å (для II).

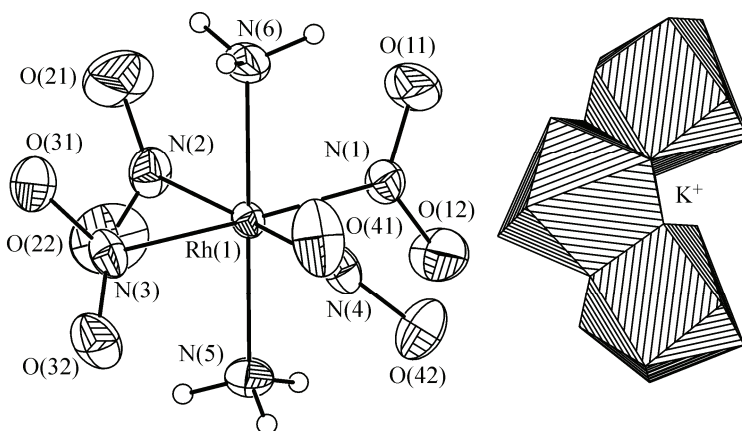


Рис. 1. Строение аниона *транс*- $[\text{Rh}(\text{NH}_3)_2(\text{NO}_2)_4]^-$ и фрагмент цепочки катионов K^+

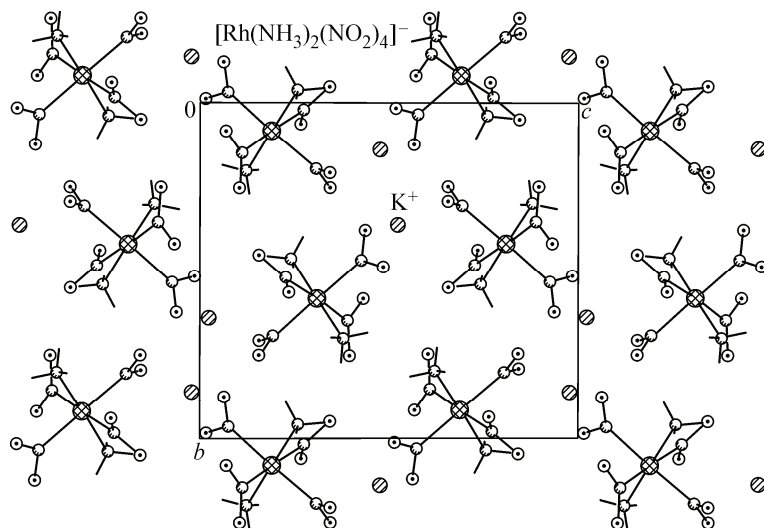


Рис. 2. Упаковка структурных единиц вдоль оси X в структуре *транс*- $\text{K}[\text{Rh}(\text{NH}_3)_2(\text{NO}_2)_4]$

Катионы калия и цезия в структурах *транс*-изомеров имеют окружение, образованное десятью атомами кислорода NO_2 -групп, один атом кислорода $\text{O}(41)$ не входит в окружение катионов. Расстояния $\text{K}-\text{O}$ колеблются в интервале 2,807—3,166, $\text{Cs}-\text{O}$ 3,088—3,419 Å. В структуре катионные полизэдры, имея общие грани, упакованы в цепочки вдоль винтовой оси (вдоль оси X) с кратчайшими расстояниями $\text{K} \dots \text{K}$ 4,279 и $\text{Cs} \dots \text{Cs}$ 4,638 Å (см. рис. 1).

Упаковка структурных единиц вдоль направления X для соли K показана на рис. 2. В структуре можно отметить слабые водородные связи $\text{N}-\text{H} \dots \text{O}$ между комплексными анионами. Расстояния $\text{N} \dots \text{O}$, характеризующие эти водородные связи, имеют интервал оценок 2,99—3,05 Å.

В структуру соли Ag (III) кроме комплексных анионов Rh и катионов Ag входят две молекулы кристаллизационной воды, стехиометрический состав такой же, как для *цикло*-изомера, — $\text{Ag}[\text{Rh}(\text{NH}_3)_2(\text{NO}_2)_4] \cdot 2\text{H}_2\text{O}$. Два кристаллографически независимых комплексных аниона Rh в III расположены в центрах симметрии, имеют близкое строение, но разную ориентацию в ячейке. Средние значения длин связей $\text{Rh}-\text{N}_{\text{NO}_2}$ и $\text{Rh}-\text{N}_{\text{NH}_3}$ равны 2,039 и 2,068 Å соответственно, разница средних значений составляет 0,029 Å. Валентные углы $\text{N}-\text{Rh}-\text{N}$ отличаются от идеальных 90° не более чем на 1,5°. В нитрогруппах связи $\text{N}-\text{O}$ меняются в узком интервале

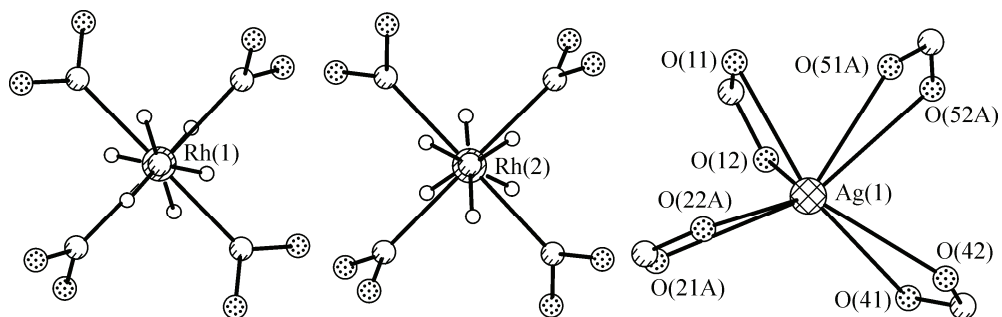


Рис. 3. Строение анионов Rh в структуре *транс*-Ag[Rh(NH₃)₂(NO₂)₄]·2H₂O и окружение катиона Ag нитрогруппами

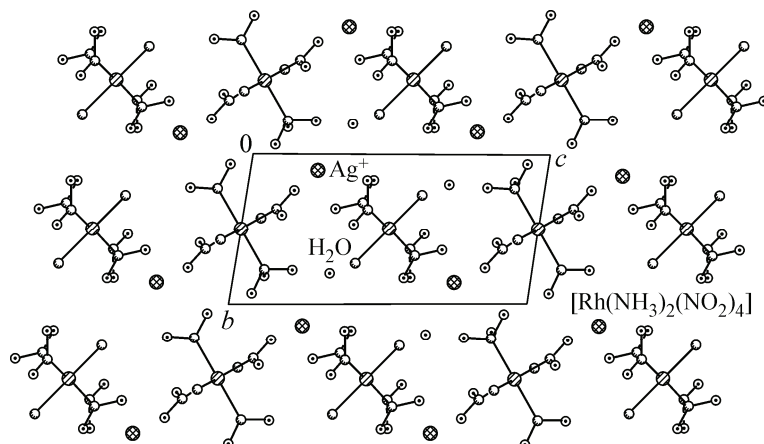


Рис. 4. Упаковка структурных единиц вдоль оси X для соединения III

со средним значением 1,228 Å, среднее значение валентных углов O—N—O составляет 118,4°. Угол между плоскостями двух нитрогрупп, находящихся в *цис*-положении друг к другу, составляет 104,1° для комплекса Rh(1) и 101,6° для Rh(2). Шесть ближайших расстояний Rh...Rh в структуре лежат внутри интервала значений 6,542—7,163 Å (рис. 3).

Катион серебра в структуре имеет окружение из восьми атомов кислорода, принадлежащих четырем NO₂-группам (т.е. Ag по тетраэдру окружено четырьмя NO₂-группами). Расстояния Ag—O лежат в интервале 2,453—2,703 Å, для *цис*-изомера этот интервал несколько больше — 2,561—2,868 Å. В отличие от *цис*-изомера, где катионы Ag образуют "димеры" с расстоянием Ag...Ag 3,836 Å, в структуре *транс*-изомера Ag-полиэдры не связаны между собой, кратчайшее расстояние Ag...Ag равно 6,891 Å. Молекулы кристаллизационной воды в *цис*- и *транс*-изомерах не входят в координацию Ag, ближайшие из них находятся на расстояниях Ag...Ow 3,999 (для *цис*) и 4,195 Å (для *транс*).

Упаковка структурных единиц в III вдоль направления X показана на рис. 4. В кристалле каждый комплексный анион Rh окружен шестью катионами Ag на расстояниях Rh...Ag 4,972—6,189 Å. Комплексные анионы и молекулы воды объединены системой водородных связей N—H...O и O—H...O. Расстояния N...O и O...O, характеризующие эти водородные связи, имеют оценки в интервале 2,88—3,15 Å, кратчайшее расстояние между молекулами воды составляет 2,88 Å.

Соль *транс*-изомера с тетраметиламмониевым катионом — [(CH₃)₄N][Rh(NH₃)₂(NO₂)₄] (IV) кристаллизуется в виде бесцветных прозрачных пластинчатых призм, принадлежащих к моноклинной сингонии.

Основу кристаллической структуры составляют комплексные анионы *транс*-[Rh(NO₂)₄(NH₃)₂][−] и катионы [(CH₃)₄N]⁺ (рис. 5). В отличие от *цис*-изомера молекулы воды не

Рис. 5. Строение аниона $[\text{Rh}(\text{NO}_2)_4(\text{NH}_3)_2]^-$ и катиона $[(\text{CH}_3)_4\text{N}]^+$

включены в структуру. В центросимметричном анионе средние значения длин связей $\text{Rh}-\text{N}_{\text{NO}_2}$ и $\text{Rh}-\text{N}_{\text{NH}_3}$ имеют практически те же значения, что и в соли K — 2,040 и 2,064 Å, разница значений 0,024 Å. Валентные углы $\text{N}-\text{Rh}-\text{N}$ отличаются от идеальных 90° не более чем на $2,7^\circ$. В нитрогруппах средние значения длин связей $\text{N}-\text{O}$ и валентных углов $\text{O}-\text{N}-\text{O}$ составляют 1,230 Å и $118,5^\circ$. Плоскости нитрогрупп N(1) и N(2) образуют с экваториальной плоскостью N_4 углы 66,1 и 56,1°. Внутримолекулярные расстояния $\text{H}\dots\text{O}$ в комплексном анионе имеют оценки ~2,29—2,77 Å.

Катион тетраметиламмония расположен на поворотной оси 2, расстояние $\text{N}-\text{C}_{\text{cp}}$ в нем равно 1,465 Å, углы на атоме азота меняются в интервале 107—112,4°.

Упаковка структурных единиц вдоль направления X показана на рис. 6. Структура соли слоистая, слои комплексных анионов чередуются с катионными слоями перпендикулярно оси Z , межслоевое расстояние $d_{002} = 9,27$ Å. В анионных слоях между комплексными анионами реализуются водородные связи $\text{N}-\text{H}\dots\text{O}$, расстояния $\text{N}\dots\text{O}$, характеризующие эти связи, имеют оценки 2,95—3,02 Å. Четыре ближайших расстояния между центрами комплексных анионов $\text{Rh}\dots\text{Rh}$ имеют значения 6,277 и 6,290 Å. Слои катионов и анионов связаны водородными связями типа $\text{C}-\text{H}\dots\text{O}$, с оценками расстояний $\text{C}\dots\text{O}$ 3,13—3,41 Å. В *цик*-изомере комплексные анионы Rh связывают молекулу кристаллизационной воды, расстояния $\text{Ow}\dots\text{O}_{\text{NO}_2}$ 2,87 Å, кратчайшие $\text{Rh}\dots\text{Rh}$ 6,378 и 6,602 Å.

В структурах всех солей изомерных анионов координированные нитрогруппы практически сохраняют геометрические параметры: различие длин связей $\text{N}-\text{O}$ лежит в интервале 0,003÷0,008 Å, углов $\text{O}-\text{N}-\text{O}$ в пределах 0,2÷0,9°. Различие в средних длинах связей $\text{Rh}-\text{N}(\text{NO}_2)$ слабо зависит от природы внешнесферного катиона (0,002÷0,004 Å), в то время как различие средних длин связей $\text{Rh}-\text{N}(\text{NH}_3)$ существенно больше и сильно зависит от природы внешнесферного катиона 0,02, 0,006, 0,000 и 0,007 Å для I, II, III и IV соединения соответственно.

В *цик*-изомерах длины связей $\text{Rh}-\text{N}(\text{NH}_3)$ на 0,043÷0,025 Å длиннее, чем связи $\text{Rh}-\text{N}(\text{NO}_2)$, тогда как в *транс*-изомерах различие значительно меньше 0,020÷0,029 Å и практически

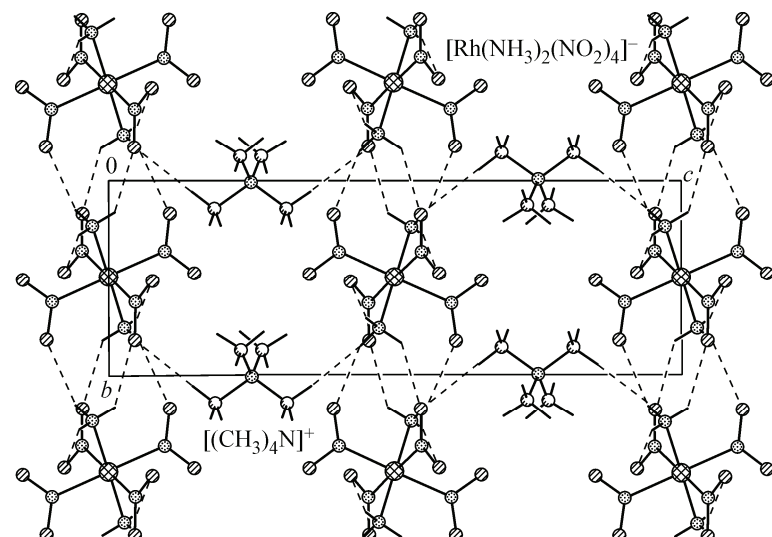
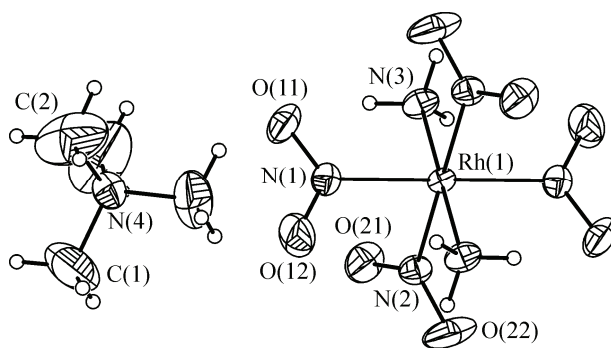


Рис. 6. Проекция структуры вдоль оси X

не зависит от природы внешнесферного катиона. Укорочение связей родий—азот нитрогрупп по сравнению со связями родий—азот аммиака вызвано дополнительным кулоновским взаимодействием отрицательно заряженного лиганда с центральным атомом.

Небольшие искажения полиэдров анионов в структурах изученных солей и их различия для *цикло*- и *транс*-изомеров, по нашему мнению, вызваны различным распределением локальных зарядов в анионах. *цикло*-Изомеры представляют собой диполи, тогда как *транс*-изомеры — квадрупольи с более симметричным распределением электрических зарядов. Электростатическое взаимодействие этих систем с катионами различной поляризуемости и приводит к наблюдаемым явлениям.

Влияние кристаллической структуры на анион соли должно устраняться при переводе соединений в раствор. Для получения необходимой информации были приготовлены насыщенные водные растворы *цикло*- и *транс*-изомеров калиевых солей и сняты спектры ЯМР ^{14}N и ^{15}N . В спектре ЯМР ^{14}N водного раствора *транс*-изомера регистрируются две линии с ХС $-378,5$ и $83,2$ м.д. Первая принадлежит координированному молекулам аммиака, вторая — координированному нитрит-ионам. В спектре ЯМР ^{15}N сигнал координированных молекул аммиака представляет собой квартет дублетов, вызванных расщеплением на ядрах трех протонов и ядре атома родия с константами $^1J(^{15}\text{N}—\text{H})$ 71 Гц и $^1J(^{15}\text{N}—\text{Rh})$ 17 Гц. Сигнала координированных нитрогрупп в спектрах ЯМР ^{15}N не наблюдается из-за отсутствия заметного изотопного обмена между $^{15}\text{NH}_3$ и $^{14}\text{NO}_2^-$ даже в процессе синтеза.

В спектрах водного раствора *цикло*-соединения линия координированного аммиака лежит при -395 м.д. с константами расщепления $^1J(^{15}\text{N}—\text{H})$ 71 Гц и $^1J(^{15}\text{N}—\text{Rh})$ 15 Гц; линия координированного нитрит-иона имеет тот же ХС $83,2$ м.д., но ее полуширина (~ 1080 Гц) почти в 2 раза больше полуширины соответствующей линии *транс*-изомера (670 Гц). В *транс*-изомере аммиак находится на координате $\text{NH}_3—\text{Rh}—\text{NH}_3$, тогда как в *цикло*-изомере — на координатах $\text{NH}_3—\text{Rh}—\text{NO}_2$. Согласно правилу координатного сдвига [6], ХС аммиака должны иметь различные значения и различные величины констант расщепления на родии, что мы и наблюдаем в спектрах.

Линии координированного нитрит-иона совпадают по положению в обоих изомерах, различаются только полуширины, несмотря на то, что в *транс*-изомере они находятся на координатах $\text{NO}_2—\text{Rh}—\text{NO}_2$, а в *цикло*-изомере — на двух координатах $\text{NH}_3—\text{Rh}—\text{NO}_2$ и одной координате $\text{NO}_2—\text{Rh}—\text{NO}_2$. Большая полуширина сигнала ЯМР ^{14}N *цикло*-изомера по сравнению с полушириной сигнала *транс*-изомера, по нашему мнению, может свидетельствовать о небольшом различии ХС нитрит-иона на этих координатах и регистрируемый экспериментально спектр является суперпозицией двух линий, которые в силу квадрупольности ядра ^{14}N не разрешаются.

Магнитная эквивалентность координированных молекул аммиака и нитрит-ионов в водных растворах каждого из изомерных соединений подтверждает, что небольшие искажения координационных полиэдров анионов вызваны кулоновским взаимодействием анион—катион в кристаллической структуре, а также образованием водородных связей.

СПИСОК ЛИТЕРАТУРЫ

1. Волкова Л.С., Волков М.В., Черников С.С. // Журн. неорганической химии. — 1971. — **16**, № 9. — С. 2594.
2. Алиев З.Г., Атовян Л.О. // Координационная химия. — 1975. — **1**, № 5. — С. 680.
3. Синтез комплексных соединений металлов платиновой группы (справочник) / Ред. И.И. Черняев. — М.: Наука, 1964.
4. Байдина И.А., Беляев А.В., Корольков И.В., Воробьев С.Н. // Журн. структурной химии. — 2013. — **54**, № 4. — С. 714.
5. Sheldrick G.M. SHELX-97 and SHELXL. Program for refinement of Crystal Structure. — Germany: University of Gottingen, 1997.
6. Федотов М.А. Ядерный магнитный резонанс в неорганической и координационной химии. Растворы и жидкости. — М.: ФИЗМАТЛИТ, 2009.